

V-221

コンクリートフレーム構造物のハイブリッド地震応答実験と弾塑性解析

京都大学大学院 学生 米山治男 William Tano
 京都大学工学部 正員 山田善一 家村浩和

1. まえがき

終局限界状態に基づいた合理的な耐震設計法の開発のために、コンクリートの弾塑性挙動の評価が重要であり、そのため各種の地震応答解析法が提案されている。一方、実験と地震応答解析を組み合わせたハイブリッドサブストラクチャーの手法も応用され始めている。本研究は、京都大学工学部土木工学教室耐震工学研究室において、著者らの実施した3層および5層のR/Cフレーム構造物モデルに対するサブストラクチャー・ハイブリッド実験（本大会別報参照）と、同フレームモデルを対象にした弾塑性地震応答解析^{(1) (2)}との比較検討を行い、解析による地震応答性状が実験による応答挙動をどのくらい良く表現しているかを調べようとしたものである。

2. 弾塑性地震応答解析

解析においては、まず微小時間における曲げ部材要素の等価剛性マトリックスを作製し、線形加速度法を用いて運動方程式の数値積分をする方法を用いた。

2. 1 弾塑性曲げ部材のモデル化 本研究では、曲げ挙動の卓越したモデルである武田モデルを履歴曲線に採用した。その履歴曲線に従って塑性変形が起こると仮定し、塑性挙動を簡易化することで部材のモデル化を行なった。ただし、部材は曲げ荷重にのみ抵抗するものとし、軸力・せん断力による部材の挙動や、引張鉄筋のスリップ現象に伴う部材端の回転は考えない。部材モデルはFIG. 1に示されている。

2. 2 曲げ部材の剛性マトリックス 曲げ破壊に伴うフレキシビリティを f とすると、はりおよび柱の曲げ破壊に関する剛性マトリックスは次のようになる。

<はり> (FIG. 2)

$$\begin{bmatrix} \Delta M_X \\ \Delta M_Y \end{bmatrix} = \begin{bmatrix} 1 + \beta_A & \beta_A \\ \beta_B & 1 + \beta_B \end{bmatrix} \begin{bmatrix} L/3EI + f_A & -L/6EI \\ -L/6EI & L/3EI + f_B \end{bmatrix}^{-1} \begin{bmatrix} 1 + \beta_A & \beta_B \\ \beta_A & 1 + \beta_B \end{bmatrix} \begin{bmatrix} \Delta \theta_X \\ \Delta \theta_Y \end{bmatrix} \quad (1)$$

(β_A, β_B = 剛体部分の長さを示すパラメータ)

<柱>

$$\begin{bmatrix} \Delta \bar{M}_X \\ \Delta \bar{M}_Y \\ \Delta \bar{P}_X \\ \Delta \bar{P}_Y \end{bmatrix} = \begin{bmatrix} 1 & 0 \\ 0 & 1 \\ -1/L & -1/L \\ 1/L & 1/L \end{bmatrix} \begin{bmatrix} \text{梁要素の} \\ \text{剛性マトリックス} \end{bmatrix} \begin{bmatrix} 1 & 0 & -1/L & 1/L \\ 0 & 1 & -1/L & 1/L \end{bmatrix} \begin{bmatrix} \Delta \Theta_X \\ \Delta \Theta_Y \\ U_X \\ U_Y \end{bmatrix} \quad (2)$$

2. 3 運動方程式 $\ddot{\vec{M}} \cdot \Delta \ddot{\vec{u}} + \vec{C} \cdot \Delta \dot{\vec{u}} + \vec{K} \cdot \Delta \vec{u} = -\ddot{\vec{M}} \cdot \Delta \ddot{\vec{y}} - \Delta \vec{F}$ (3)

増加形式にすることで線形化し、微小時間内に剛度が一定という仮定を用いる。実際の履歴ループが曲線である理由から、補正値として $\Delta \vec{F}$ を導入している。

3. サブストラクチャー・ハイブリッド実験と実験モデル

本実験では、3層あるいは5層のせん断質点形R/Cフレーム構造物に対し、その構造物の第1層のみが塑性挙動を示すとし、その部分をハイブリッド実験により直接的に観測した (FIG. 3, FIG. 4)。両方のモデルに対して第1層の柱材は同一の供試体を用い、フレームモデルのヒンジにあたる先端部に荷重を作用さ

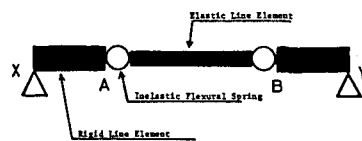


FIG. 1 Elements of Typical Frame Member

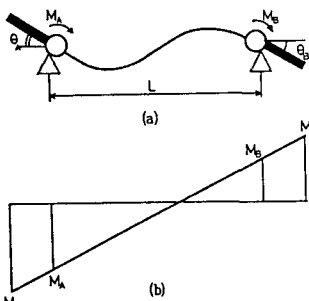


FIG. 2 Moment-Rotation Relation of Member

せた。解析では帶筋の影響を無視して計算を行った。また、入力地震動は El Centro 地震(1940)の N-S 成分を用い、最大加速度 340gal を一定倍することにより 500gal として 30 秒間分の解析を実施した。

4. 解析結果と考察

実験と解析とを、各々のフレームモデルの第一層の柱材上端でのモーメント-回転角関係から比較した (FIG. 5, FIG. 6)。

IDA (Inelastic Dynamic Analysis) は解析のグラフを表し、SS-HYLSER は実験のグラフを表す。IDA の履歴曲線を規定するために、ハイブリッド実験で測定したひびわれ点・鉄筋降伏点の値を使用した。実験と解析では、構造物の挙動が弾性域で良い一致を示し、塑性域では大きな変位差を生じた。これは、部材のモデル化の段階で、塑性変形を起こす部分を部材端のみに定めたため、弾性挙動が卓越したからだと考えられる。実際の部材では、塑性変形は部材端に集中せず、部材の中心部分にまでひびわれが生じるため、これを評価する必要がある。

また、3 層モデルより 5 層モデルのほうが永久変形が大きくなってしまっており、質量慣性力の大きさによるものと推定される。

5. あとがき

本研究のモデルはかなり簡単なモデルであるにもかかわらず、実験・解析間にかなりの一一致がみられた。今後は、ファイバーモデルを使用することにより、さらに正確な解析の実施が期待される。

参考文献

- (1) Otani, S : Inelastic Analysis of R/C Frame Structures, Journal of the Structural Division, ASCE, Vol 100, 1974
- (2) Otani, S : SAKE, A Computer Program for Inelastic Response of R/C Frames to Earthquake, 1974

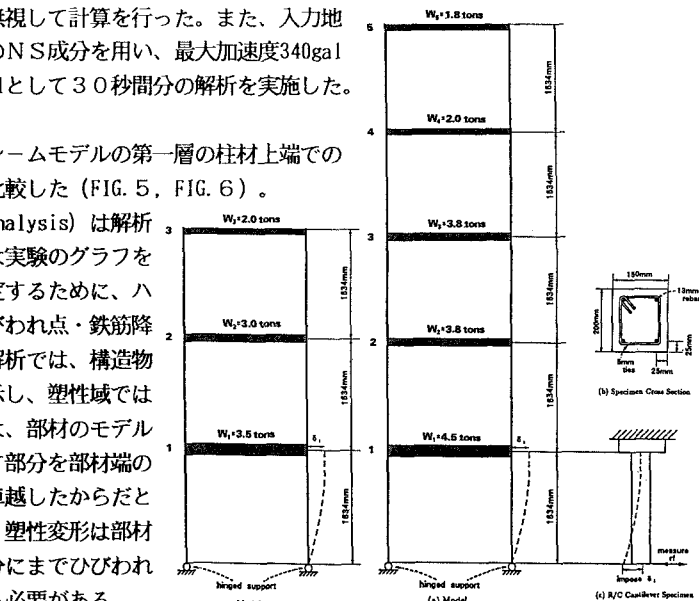


FIG. 3 3-story 1-bay Frame Model

FIG. 4 5-story 1-bay Frame Model

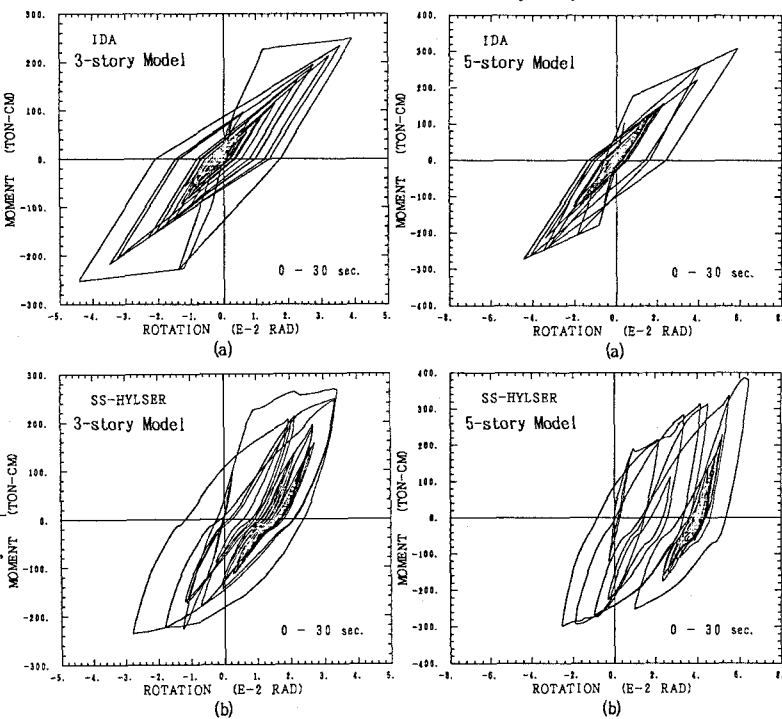


FIG. 5 Hysteresis Loop of 1-st Story Column for the 3-story Model (0-30 sec)

FIG. 6 Hysteresis Loop of 1-st Story Column for the 5-story Model (0-30 sec)